# CERN-COMPASSにおける 核子スピン構造研究

堂下典弘 山形大学 山形大学、宮崎大学、中部大学、KEK

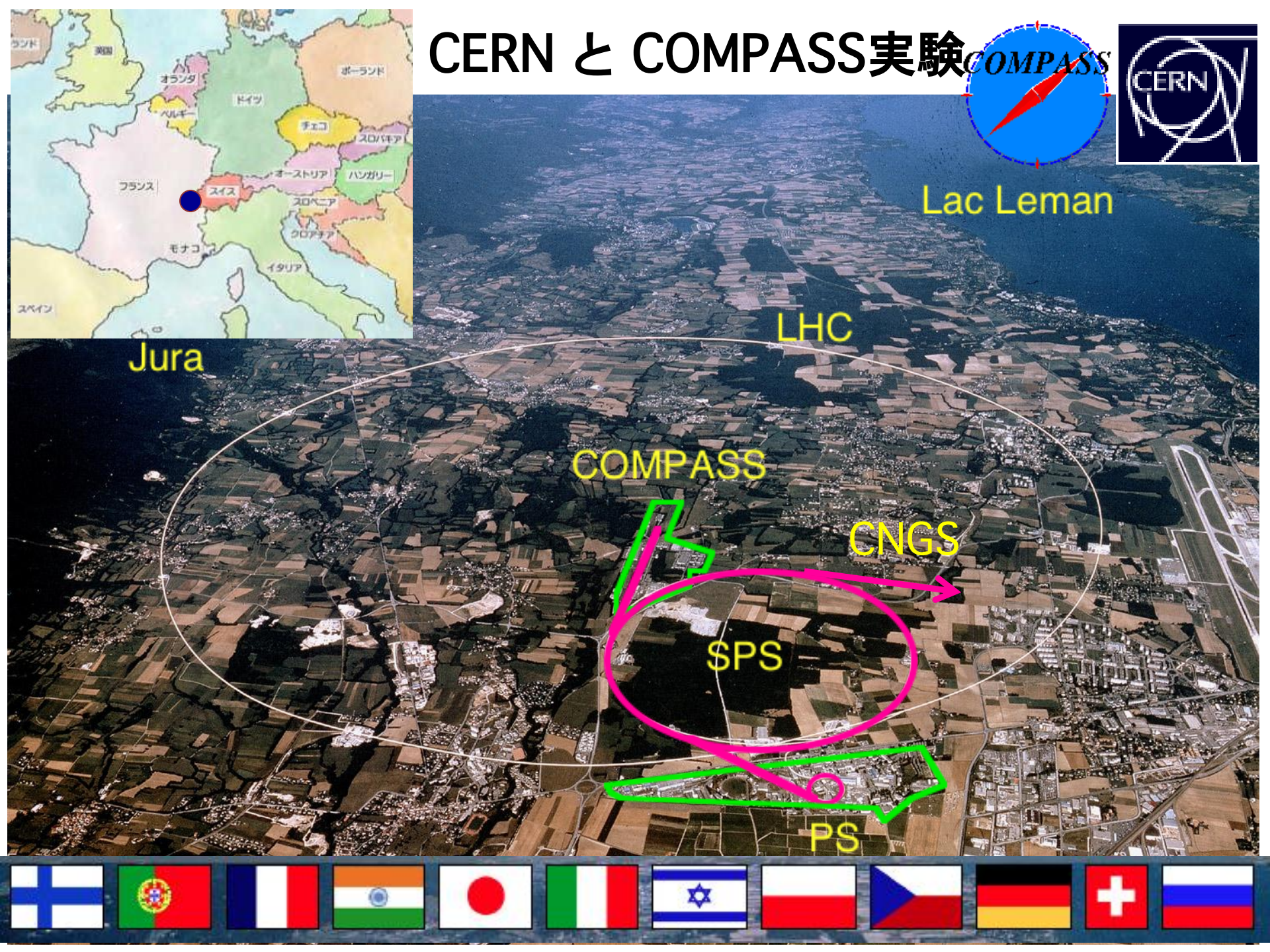
固体偏極標的(冷却、NMR、マイクロ波、真空)



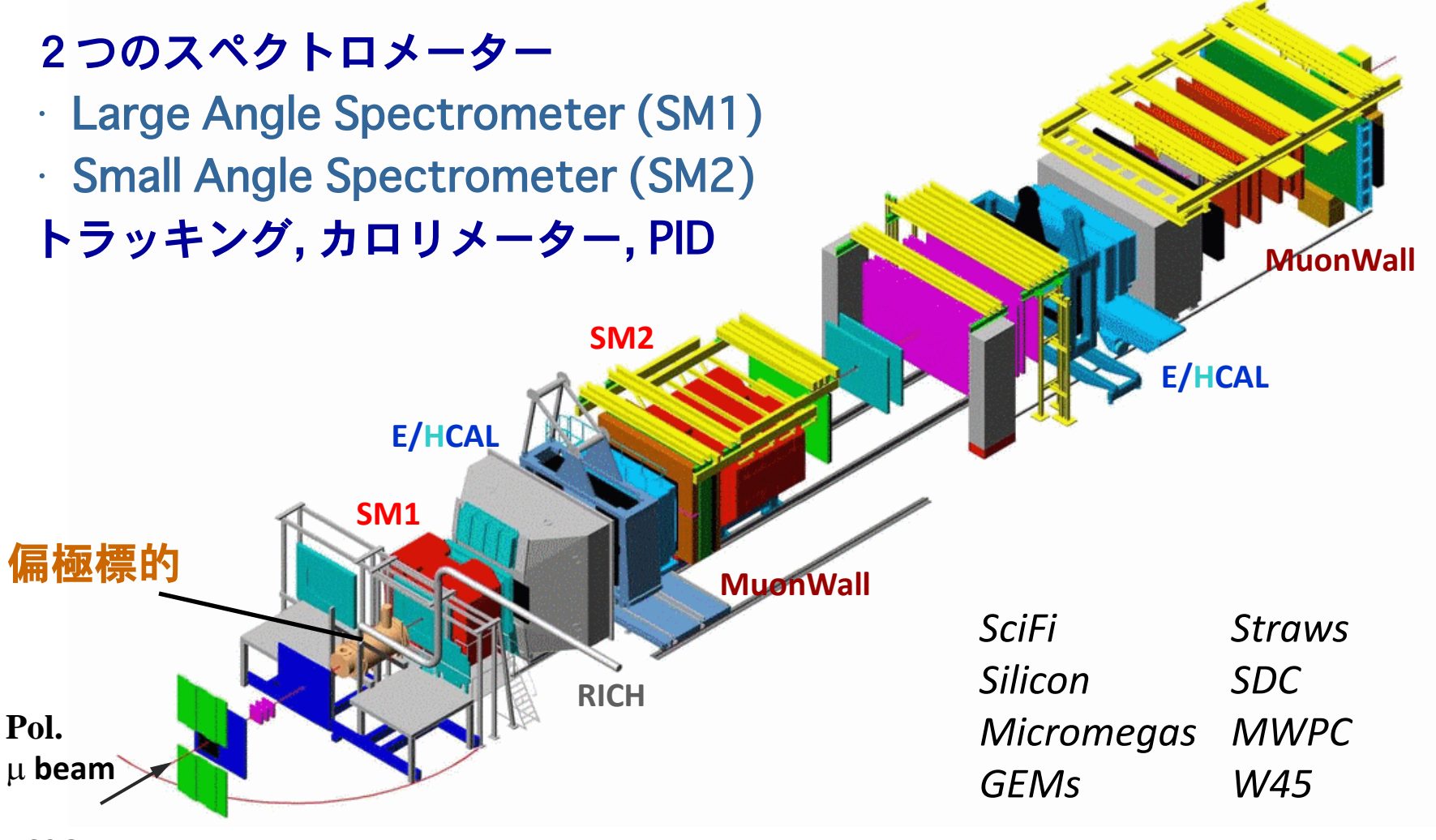
→ COMPASS実験:核子スピン構造研究 (約220名の共同研究者)

# 発表内容

- COMPASS実験の概要
- COMPASS実験の目的
- これまでの実験結果
- ・ 将来の実験計画
- COMPASS偏極標的システム



#### COMPASSスペクトロメーター



160GeV, pol. 80%

# COMPASS の歴史

- 1996年にスタート
  - Common Muon and Proton Apparatus for Structure and Spectroscopy
- 1998年プロポーザルが承認
- 2002年データ収集開始
- 毎年半年間のビームタイム
- 2011年終了
- 2012年COMPASSⅡデータ収集開始

# 核子スピン構造

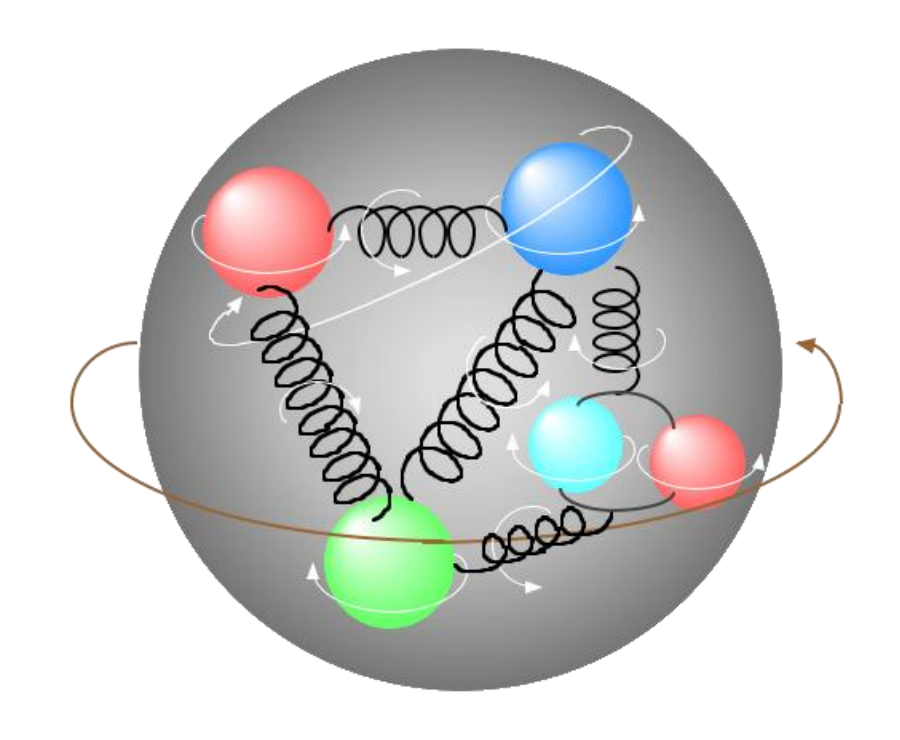
#### 核子スピン

$$\frac{1}{2}h = \frac{1}{2}\Delta\Sigma + \Delta G + L_q + L_g$$

 $\Delta \Sigma$ : D

 $\Delta G$ : グルーオンスピン

 $L_q, L_g$ : 軌道角運動量

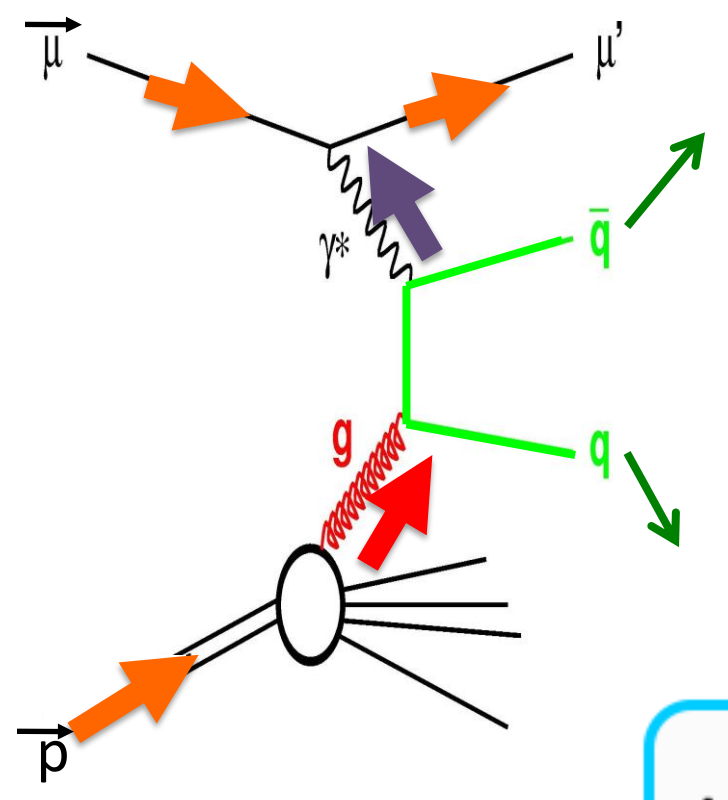


1980-90年代のCERNでのEMC実験、SMC実験、 米国SLACでの一連の実験における測定



# $\Delta G$ ? COMPASSでの目的

#### 光子グルーオン融合とSemi-Inclusive深非弾性散乱測定 チャーム (q= c



クリーンチャンネル (低物理バックグラウンド)

- 低統計量
- K、π粒子によるDメソン同定 by RICH

High  $p_T$  ハドロンペア (q= u, d, s)

- 高統計量
- 物理バックグラウンド

二重スピン非対称度測定

P<sub>B</sub>: ビーム偏極度

P<sub>T</sub>: 標的偏極度

f:ダイユーションファクター

N:イベンド数

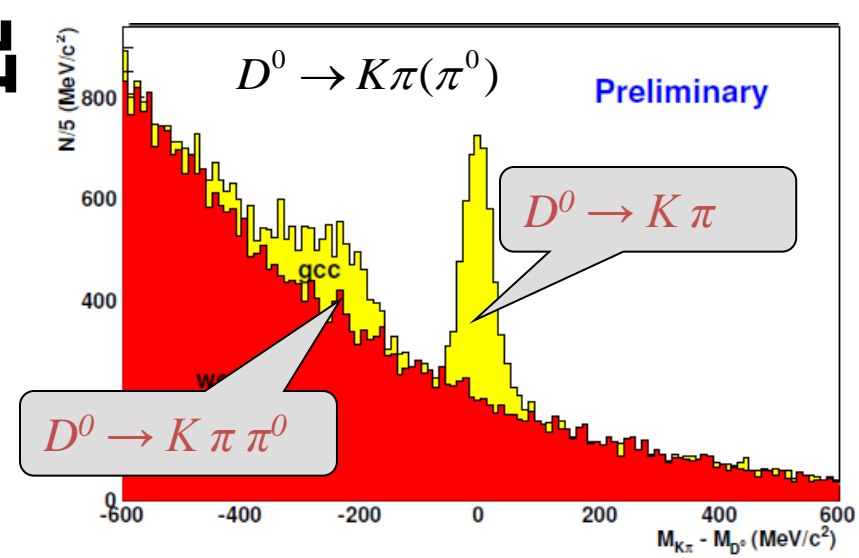
$$A_{exp} = \frac{N^{-} - N^{-}}{N^{-} + N^{-}} = P_B P_T f A_{II}$$

 $\frac{\Delta G}{G}$ の抽出

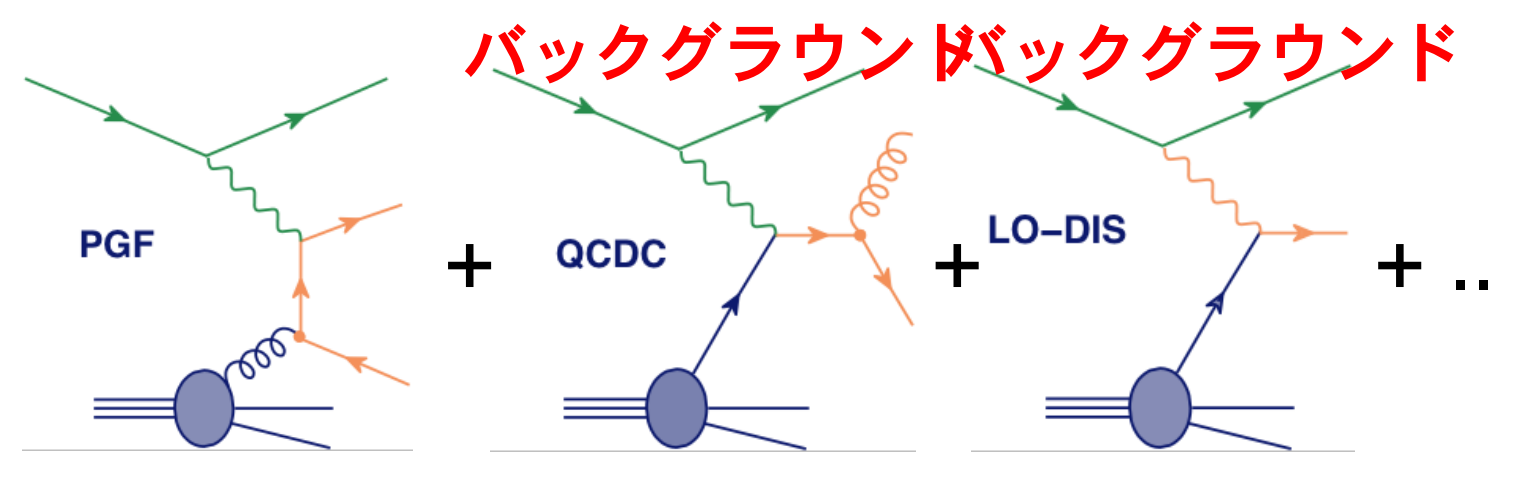
### グルーオン偏極度の抽出

#### オープンチャーム

$$A_{\parallel}^{OC} \approx R_{PGF} \langle a_{LL} \rangle \frac{\Delta G}{G}$$



#### High p<sub>T</sub> ハドロンペア

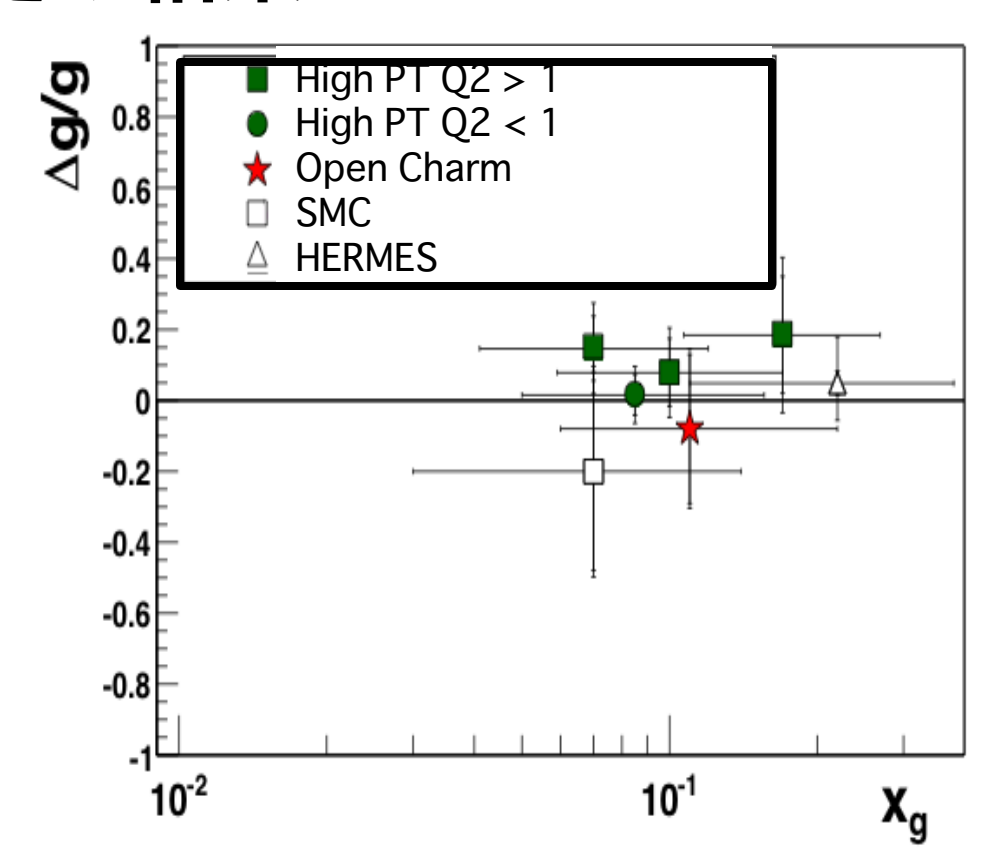


$$A_{\parallel}^{\it HighPT} \approx R_{\it PGF} \langle a_{\it LL}^{\it PGF} \rangle \frac{\Delta G}{G} + R_{\it QCDC} \langle a_{\it LL}^{\it QCDC} \rangle \frac{\Delta q}{q} + R_{\it LO} \langle a_{\it LL}^{\it LO} \rangle \frac{\Delta q}{q} + {\rm Resolved \ photons}$$
 Processes for lowQ2

モンテカルロシュミレーションが必要

### グルーオン偏極度測定の結果

- すべての結果は、ほぼゼロ。
- ・より多くのサブプロセスを 考慮してそれらのアナライ ジングパワー<a<sub>LL</sub>>への再評 価を行ったNLOの結果もほ ぼゼロ。
- •RHICでも同様の結果が確認 されている。



$$\frac{1}{2}h = \frac{1}{2}\Delta\Sigma + \Delta G + L_q + L_g$$

クォークの軌道角運動量に注目

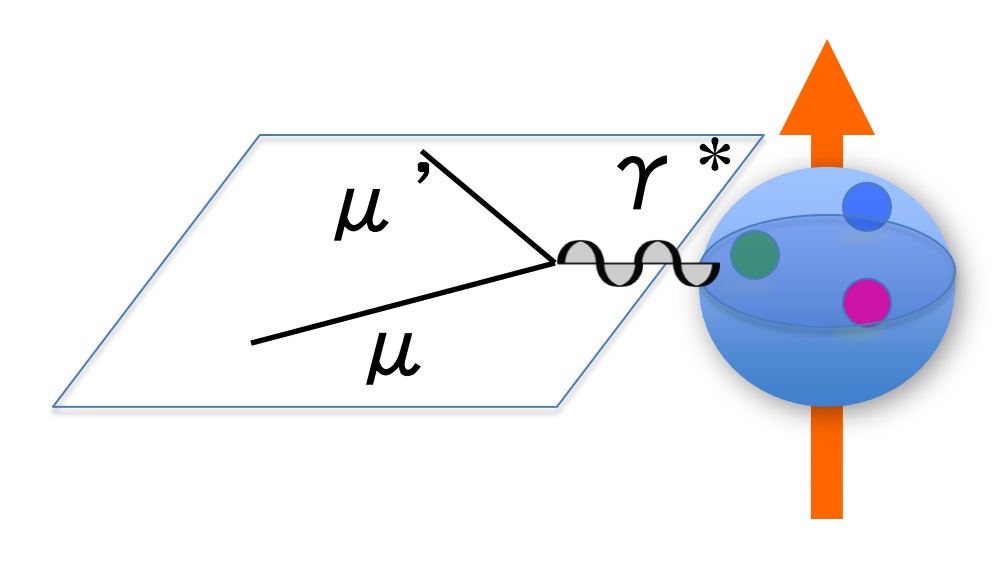
# 横偏極運動量依存(TMD)パートン分布

· 8 つの横偏極運動量依存(TMD)パートン分布関数がある。

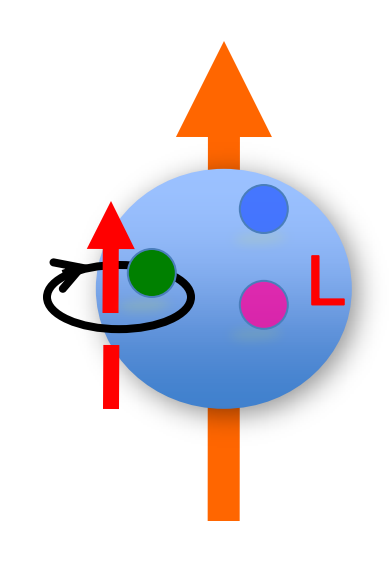
		U	L	Т	
quark polarization	U	$f_1$ onumber density		$f_{\scriptscriptstyle IT}^{\perp}$ $\stackrel{lack}{lack}$ - $_{lack}$	Sivers
	L		<b>g</b> <sub>1</sub> ⊶- ⊷→ helicity	$g_{_{IT}}$ - $\odot$	
Boer– Mulders	т	$\mathbf{T}  \boldsymbol{h}_{1}^{\perp}  8  \mathbf{-}  0$	$h_{1L}^{\perp}$	h <sub>1</sub> & - v	Transversity
				$h_{1T}^{\perp}$ $\stackrel{\triangleright}{\triangleright}$ - $\stackrel{\triangleright}{\circ}$	Pretzelosity

## Sivers関数

横偏極核子における無偏極クォークの振る舞いを表す関数 (transverselyに偏極した核子内のクォーク運動量分布関数)



Sivers関数がゼロではない = クォークに軌道角運動量がある



# Sivers 非対称度 $\Delta_0^T q(x)$ $(f_{1T}^{\perp})$

Transversely 偏極標的におけるSI深非弾性散乱(DIS)断面積は、

$$d\sigma_{SIDIS} \propto [1 + a_1 \cdot \sin \Phi_C + a_2 \cdot \sin \Phi_S + \dots]$$
Sivers

 $\Phi_{\scriptscriptstyle S} = \phi_{\scriptscriptstyle h} - \phi_{\scriptscriptstyle s}$ :核子スピンに対する散乱ハドロンの方位角 $\phi_{\scriptscriptstyle h}$ 

Siversアングルに対するモジュレーション

$$N_h^{\pm}(\Phi_S) = N_h^0 [1 \pm P_T \cdot A_{Siv} \cdot \sin \Phi_S]$$

#### Sivers非対称度

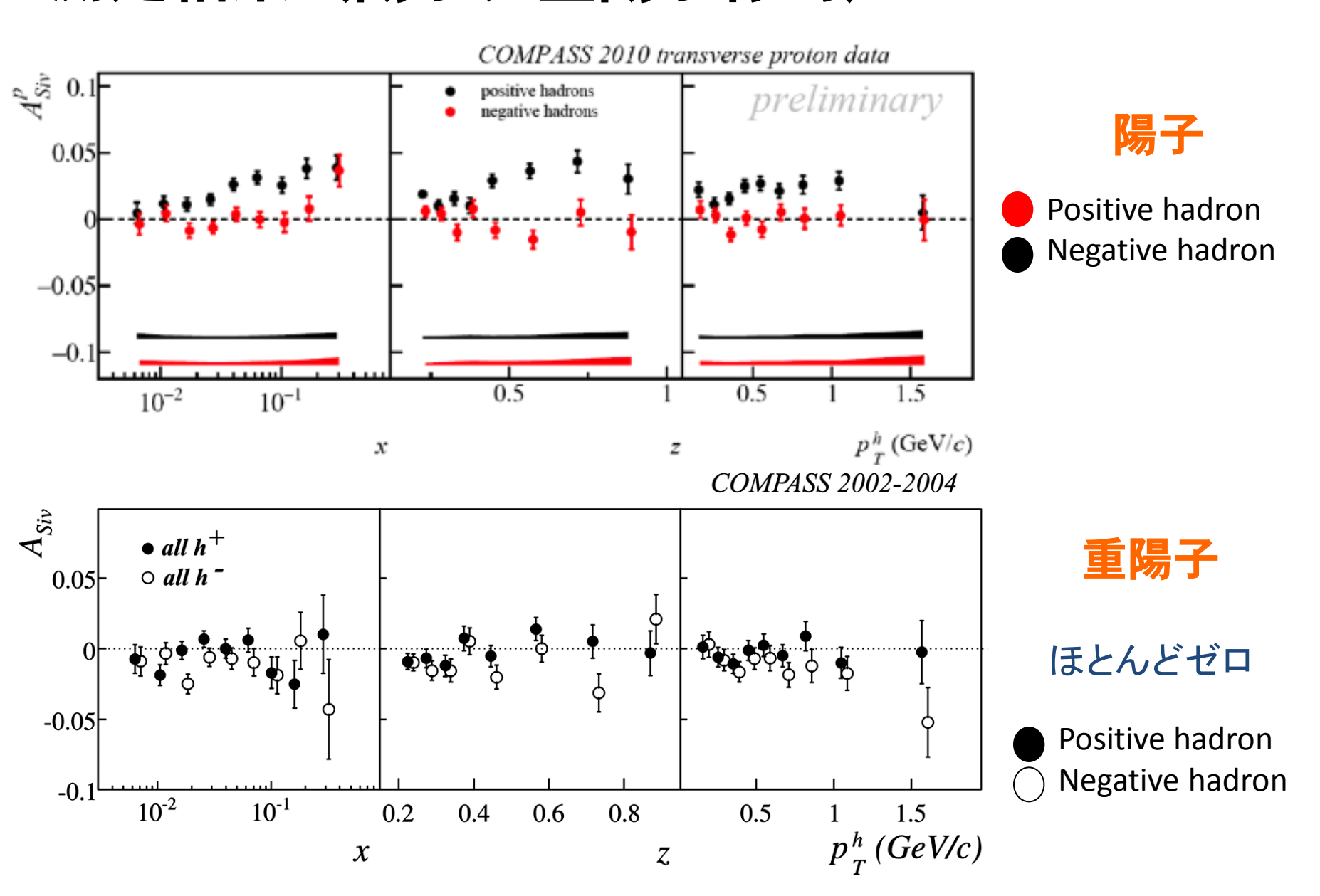
$$A_{Siv} = \frac{\sum_{q} e_{q}^{2} \Delta_{0}^{T} q(x) D_{q}^{h}}{\sum_{q} e_{q}^{2} q(x) D_{q}^{h}}$$

1990年にSiversが提唱

破砕関数:

他の実験で測定

### 測定結果(陽子、重陽子標的)

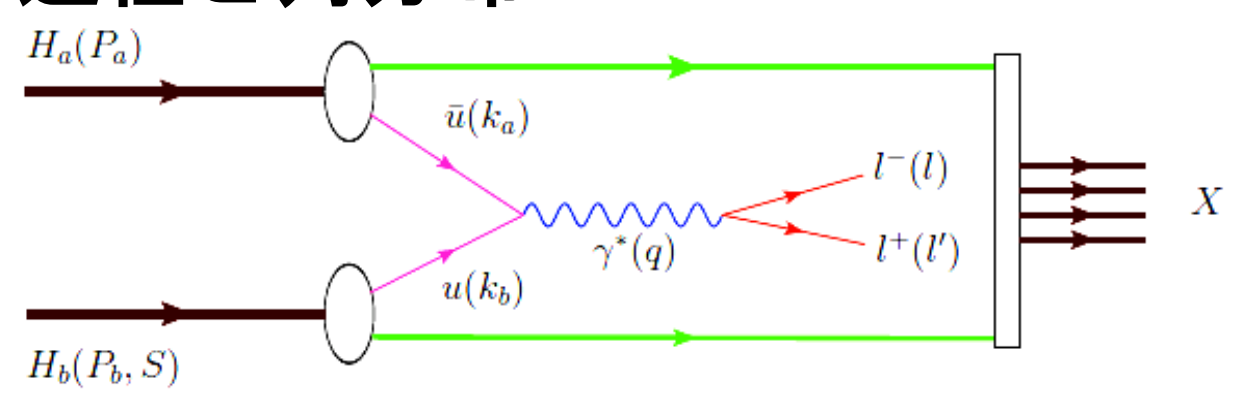


### COMPASSの将来実験

ウォークの軌道角運動量をより詳しく調べる 事が核子スピン構造解明に必要となる。

- 偏極ドレル・ヤン実験
- GPD実験

## ドレル・ヤン 過程と角分布



$$\frac{1}{\sigma} \frac{d\sigma}{d\Omega} = \frac{3}{4\pi(\lambda + 3)} \left[ 1 + \lambda \cos^2 \theta + \mu \sin 2\theta \cos \phi + \frac{v}{2} \sin^2 \theta \cos 2\phi \right]$$

- •The collinearity を仮定すると λ=1 と μ=v=0が暗示される。
- •NA10 (CERN) ≥ E615 (Fermlab)
  - **→** cos2¢のモジュレーションが30%程度。
- •ハドロンに内在しているクォークの横方向運動量 k<sub>T</sub>
  - → 標的とビームのクォークで2 つの Boer-Mulders PDFs が相互作用する。

### シングル偏極ドレル・ヤン散乱断面積

シングル偏極ドレル・ヤン断面積の最低次展開は、

$$\frac{d\sigma}{d^{4}qd\Omega} = \frac{\alpha^{2}}{Fq^{2}} \hat{\sigma}_{U} \left\{ \left( 1 + D_{\left[\sin^{2}\theta\right]} A_{U}^{\cos2\phi} \cos2\phi \right) - A_{U}^{\cos2\phi} : (BM)_{\pi} \otimes (BM)_{P} \right. \\
+ \left| S_{T} \right| \left[ A_{T}^{\sin\phi_{S}} \sin\phi_{S} - A_{T}^{\sin\phi_{S}} : (f_{1})_{\pi} \otimes (Sivers)_{P} \right. \\
+ \left. D_{\left[\sin^{2}\theta\right]} \left( A_{T}^{\sin(2\phi+\phi_{S})} \sin(2\phi+\phi_{S}) - A_{T}^{\sin(2\phi+\phi_{S})} : (BM)_{\pi} \otimes (Pr_{S}) \right. \\
+ \left. A_{T}^{\sin(2\phi-\phi_{S})} \sin(2\phi-\phi_{S}) \right) \right] \right\} \\
+ A_{T}^{\sin(2\phi-\phi_{S})} : (BM)_{\pi} \otimes (Tr_{S}) + A_{T}^{\cos(2\phi-\phi_{S})} : (BM)_{\pi} \otimes (Tr_{S})$$

$$\bullet A_U^{\cos 2\phi}: (BM)_{\pi} \otimes (BM)_{P}$$

$$\bullet A_T^{\sin \phi_S} : (f_1)_{\pi} \otimes (Sivers)_P$$

$$\bullet A_T^{\sin(2\phi+\phi_S)}: (BM)_{\pi} \otimes (\operatorname{Pr}etz.)_P$$

$$\bullet A_T^{\sin(2\phi-\phi_S)}:(BM)_\pi\otimes (Trans.)_P$$

A: 方位角非対称度:: 2つのPDFsのconvolutionで表せる

D: 減偏極ファクター

S:標的スピンコンポーネント

 $\hat{\sigma}_{\!\scriptscriptstyle I}$ : part of the cross-section surviving integration over  $\phi$  and  $\phi_s$ 

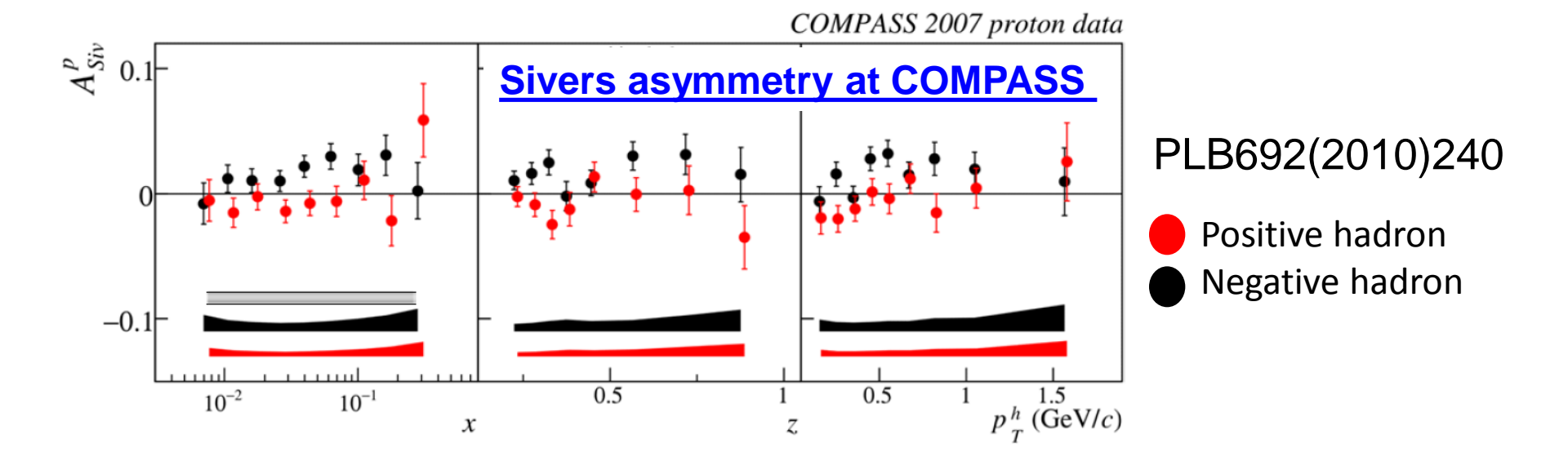
$$F: 4\sqrt{(P_a \cdot P_b)^2 - M_a^2 M_b^2}$$

# TMD パートン分布関数(PDFs)の普遍性

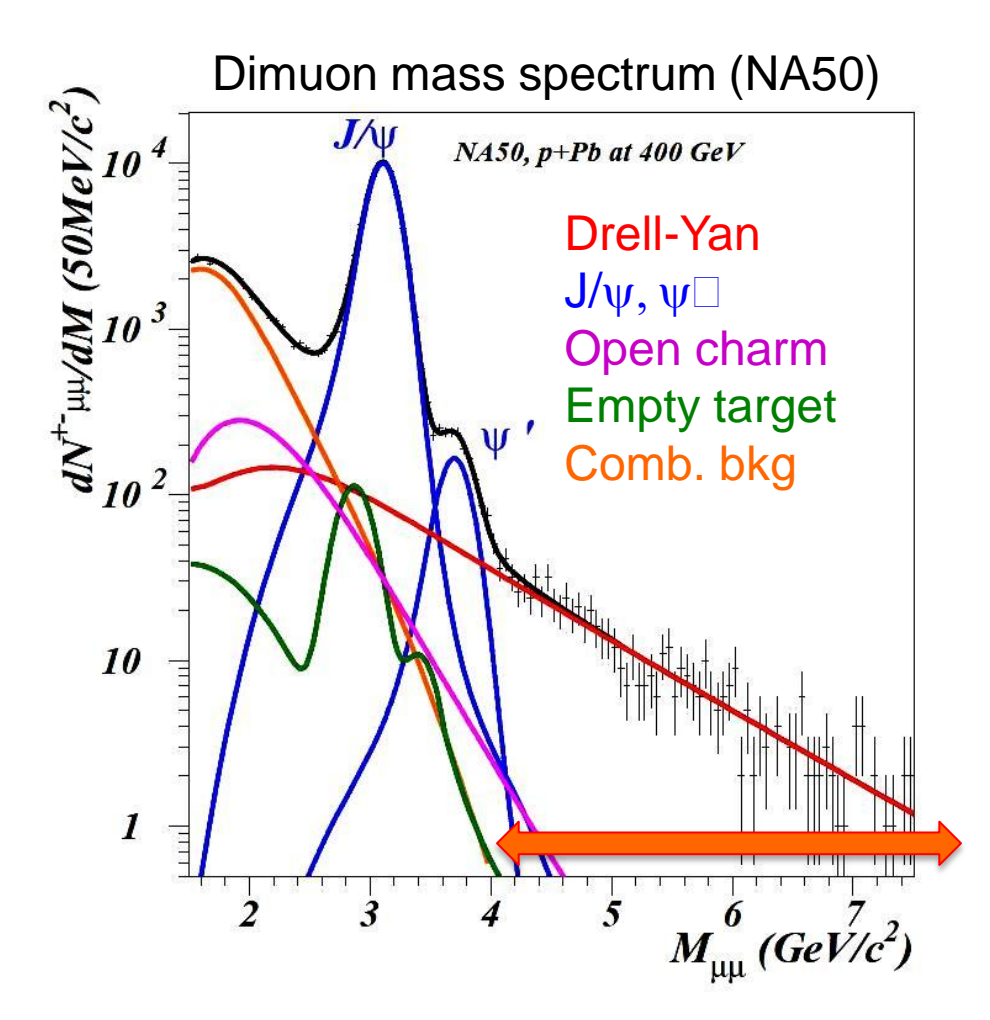
Sivers と Boer-Mulders PDFs は "Time-reversal odd"なので、SIDISとDYで測定した場合、それらのサインが違う。

$$f_{1T}^{\perp}|_{DY} = -f_{1T}^{\perp}|_{SIDIS}$$
  $h_1^{\perp}|_{DY} = -h_1^{\perp}|_{SIDIS}$ 

COMPASS実験では、その測定を同じスペクトロメーターと transversely偏極標的を用いて行うことができる。



# シグナルとバックグラウンド



#### 2 バックグラウンド ソース

- •物理バックグラウンド  $D,\,\overline{D}$  と  $J/\psi$  が崩壊し  $\mu^+\mu X$
- •組み合わせバックグラウンド  $\pi$  と K が崩壊し  $\mu\nu$ へ

ドレル・ヤン測定では、 4 < *M* GeV/c<sup>2</sup>がより良い領域。

### イベント レイトと統計精度

ルミノシティ 1.2 x 10<sup>32</sup> cm<sup>-2</sup> (ビーム強度: 6 x 10<sup>7</sup> pions/s)

 $\rightarrow$  4 < M < 9 GeV/c<sup>2</sup> において800 DY イベント/日

2年間のデータ収集 (280 days)を仮定すると

→ 4 < *M* < 9 GeV/c<sup>2</sup> 領域において230k イベント

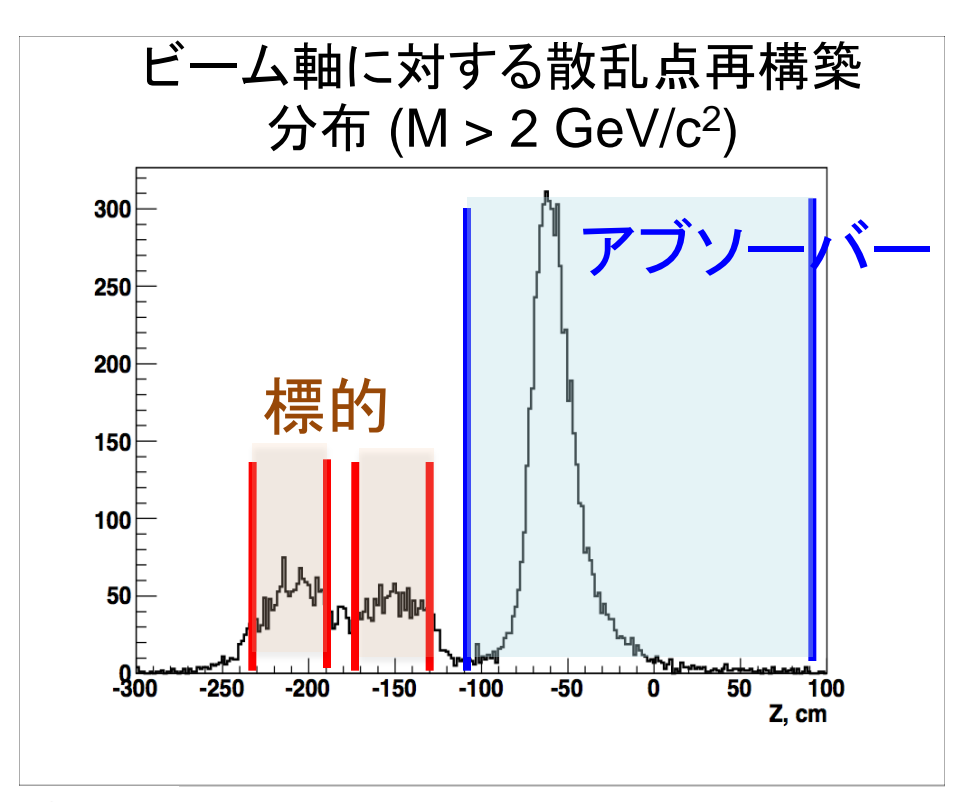
#### これを非対称度の統計誤差で表わすると

Asymmetry	Dimuon mass ( ${ m GeV}/c^2$ )			
	$2 < M_{\mu\mu} < 2.5$	$\int J/\psi$ region	$4 < M_{\mu\mu} < 9$	
$\delta A_U^{\cos 2\phi}$	0.0020	0.0013	0.0045	
$\delta A_T^{\sin \phi_S}$	0.0062	0.0040	0.0142	
$\delta A_T^{\sin(2\phi + \phi_S)}$	0.0123	0.008	0.0285	
$\delta A_T^{\sin(2\phi - \phi_S)}$	0.0123	0.008	0.0285	

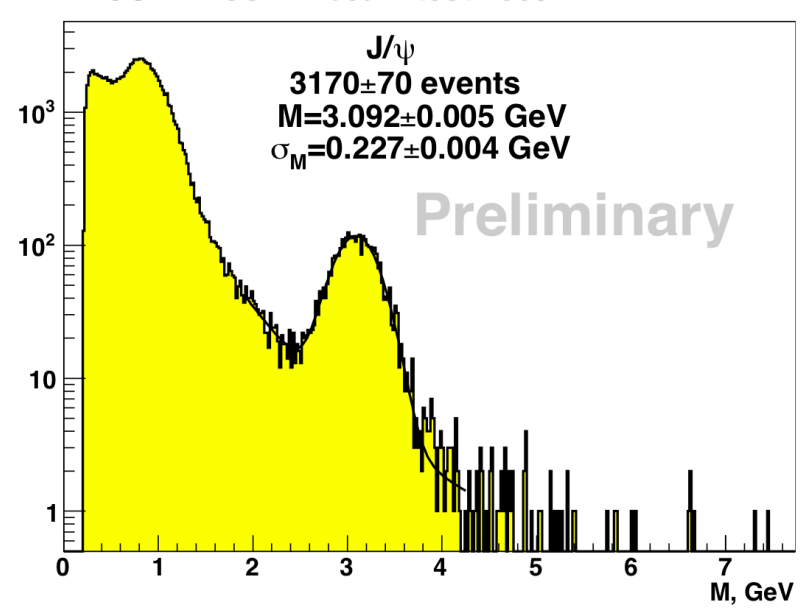
いくつかのx<sub>F</sub> binsでの非対称度を検証できる。

#### ビームテスト 2009

190 GeV π<sup>-</sup> ビーム + CH<sub>2</sub>(40cm+40cm) 標的 3日間データ収集



#### **COMPASS DY beam test 2009**



- ・2 つの標的セルとアブソーバーが区別できる
- 解像度は期待通り
- M = 2 GeVで組み合わせバックグラウンド がアブソーバーにより1/10に車

# GPDプログラムの目的

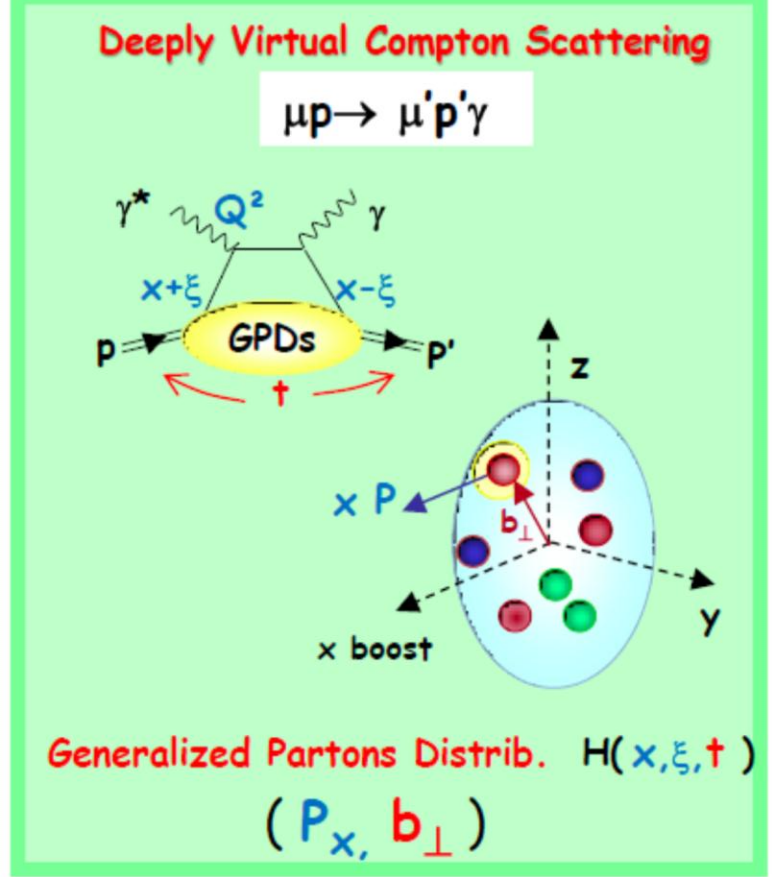
GPD(一般化されたパートン分布)関数

4種類:

$$H, \tilde{H}, E, \tilde{E}(x, \xi, t)$$

#### Jiの和則:

クォークのスピンと軌道角運動量の和

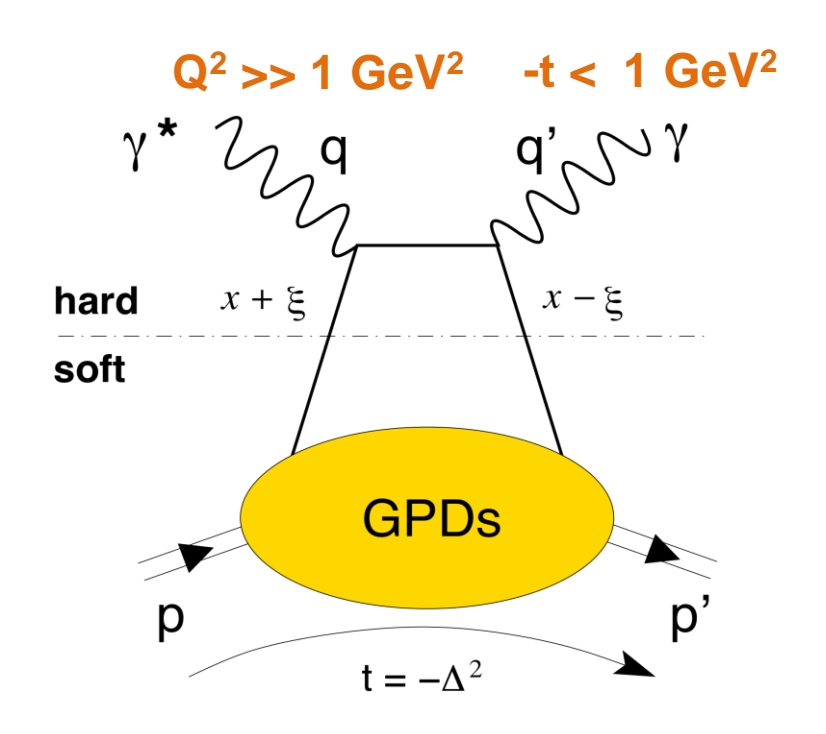


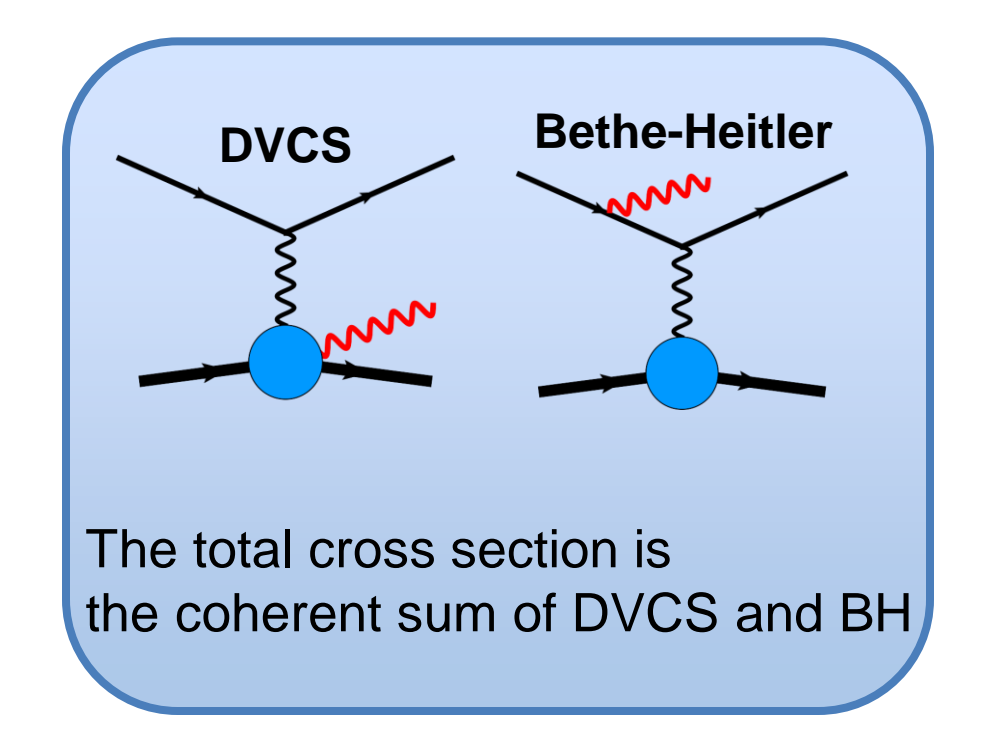
$$\lim_{t \to \infty, \xi \to 0} \frac{1}{2} \int_{-1}^{1} x \left[ H^{q}(x, \xi, t) + E^{q}(x, \xi, t) \right] dx = \frac{1}{2} \Delta q + L_{Z}$$

核子の3次元像: $H(x,\xi,t)$  or  $H(P_X,r_{v,z})$ 

## 仮想深コンプトン散乱(DVCS)過程

ExclusiveなDVCS過程よりGPDにアクセスできる。





#### 偏極ミューオンビームと無偏極標的: GPD H

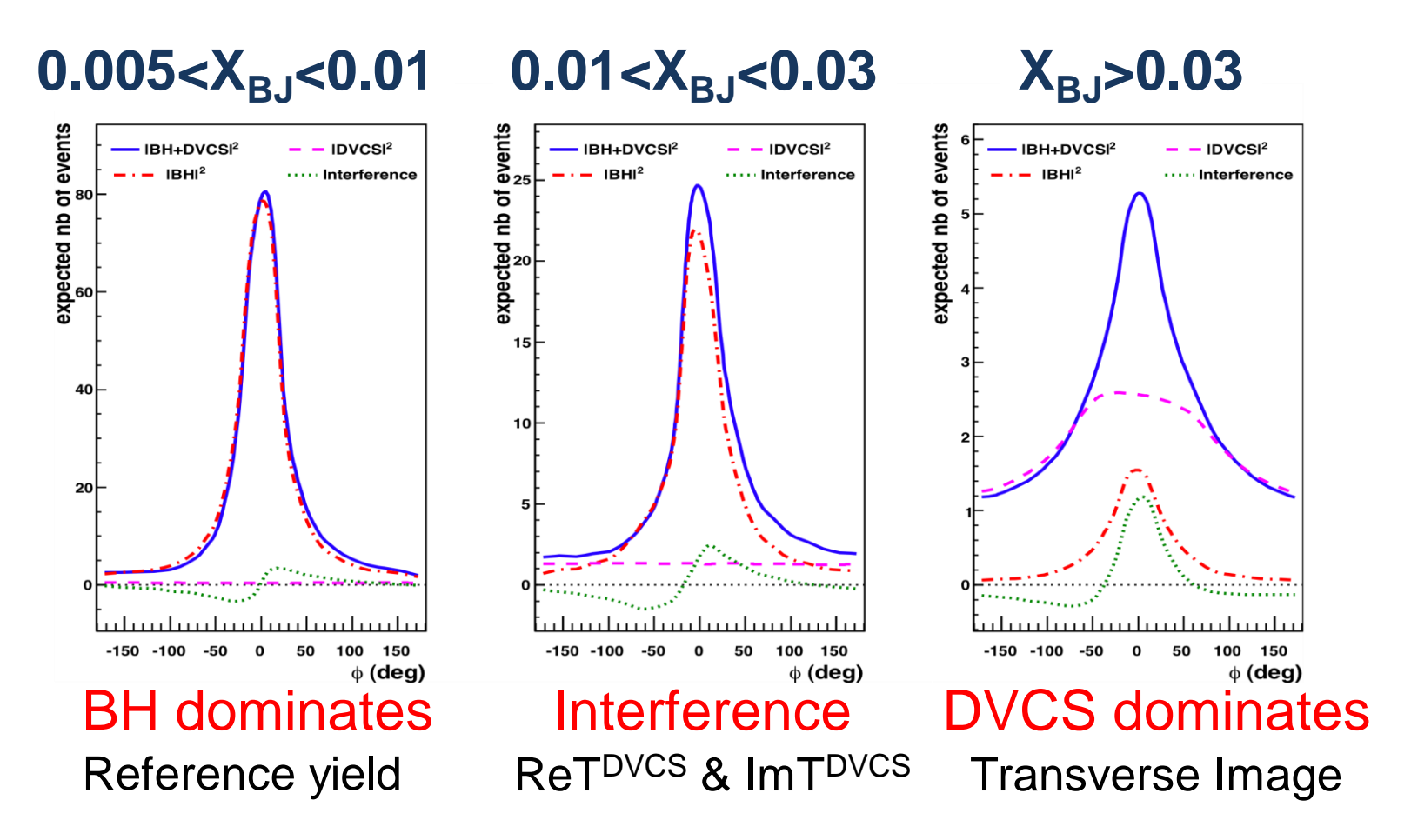
$$d\sigma_{(up\to up\gamma)} = d\sigma^{BH} + d\sigma_{unpol}^{DVCS} + P_{\mu}d\sigma_{pol}^{DVCS} + e_{\mu}a^{BH}\operatorname{Re}(I) + e_{\mu}P_{\mu}\operatorname{Im}(I)$$

 $d\sigma^{BH}$ : well known

*I* : interference term

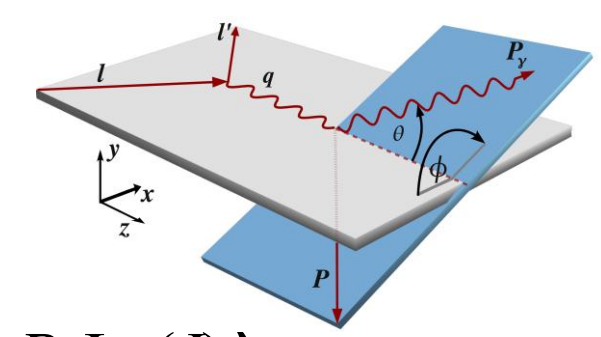
#### Bethe-Heitler と DVCS の散乱断面積 @ 160 GeV

$$d\sigma \propto \left|T^{DVCS}\right|^2 + \left|T^{BH}\right|^2 + InterferenceTerm$$



MC: COMPASS setup with Ecal1+2

### GPD H へのアクセス



#### ビームチャージ と スピン和

$$S_{CS,U} = d\sigma^{+\leftarrow} + d\sigma^{-\rightarrow} = 2\left(d\sigma^{BH} + d\sigma^{DVCS}_{unpol} + e_{\mu}P_{\mu}\underline{\text{Im}(I)}\right)$$

GPD *H*ヘアクセス

$$s_1^I \propto \operatorname{Im}(F_I, \mathcal{H})$$

Compton form factor

#### ビームチャージ と スピン差

BH過程はビームチャージと偏極に対して依存していない。

$$D_{CS,U} = d\sigma^{+\leftarrow} - d\sigma^{-\rightarrow} = 2\left(P_{\mu}d\sigma_{pol}^{DVCS} + e_{\mu}\underline{\text{Re}(I)}\right)$$

$$c_0^I + c_1^I \cos \phi + c_2^I \cos 2\phi + c_3^I \cos 3\phi$$

#### Phase II

GPD *Eへのアクセス* 横方向偏極陽子標的を用いたDVCSの測定  $c_1^I \propto \operatorname{Re}(F_I, \mathcal{H})$ 

新しいコンセプトの偏極核子標的システムが必要

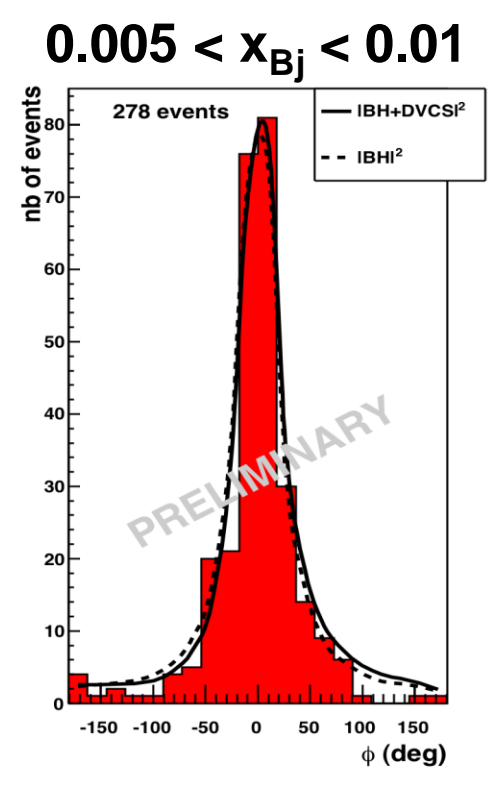
### 2008、2009年ビームテスト

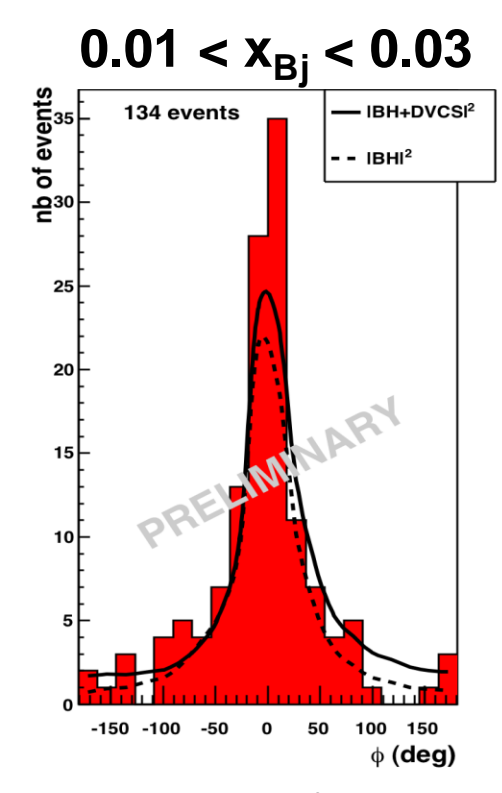
40cm 長の液体水素標的 1m 長の反跳陽子検出器

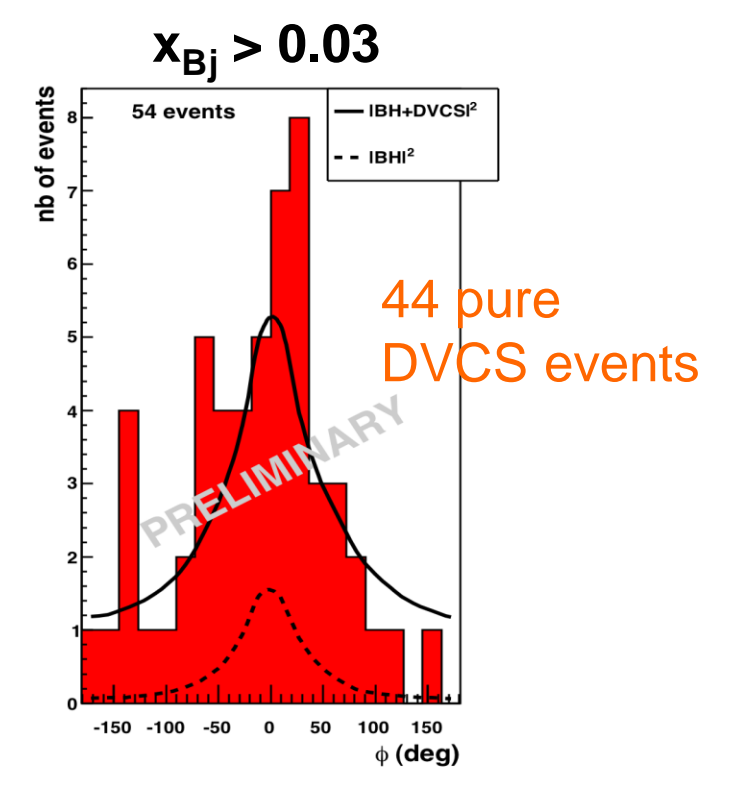
#### BHとDVCS イベントの測定

2008: exclusive シングル光子生成イベントの測定

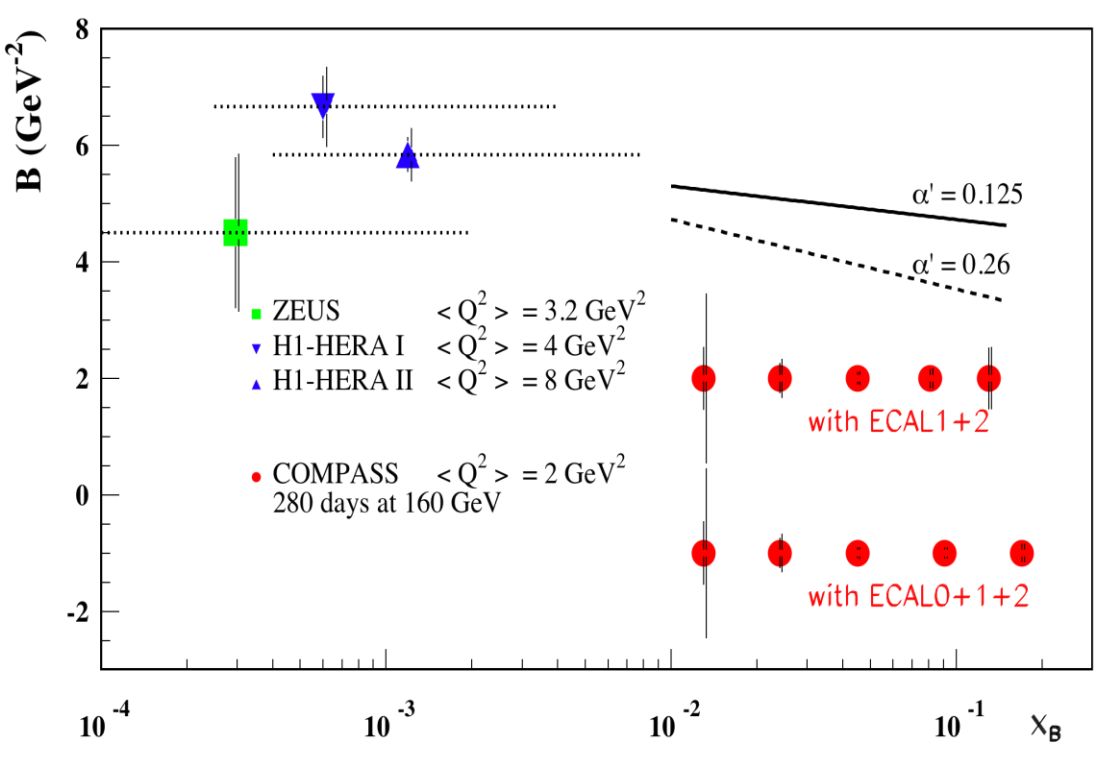
2009: BH and DVCS イベントの測定







#### Transverse イメージング



2 年間のデータ収集 (280日) 160 GeV 偏極ミューオンビー ム

- µ+70日
- µ-210日
- 2.5m 液体水素標的

t-slope パラメーター  $B(x_B)$ 

簡単な仮定:

$$B(x_B) = B_0 + 2\alpha' \log(x_0/x_B)$$

The exclusive散乱断面積は

$$d\sigma/dt \propto \exp\left(-B(x_B)t\right)$$

B 
$$(x_B)$$
 はモデルに頼らずに抽出できる  $\langle r_{\perp}^2(x_B) \rangle \approx 2 \cdot B(x_B)$ 

核子の transverse サイズ

### COMPASS実験の偏極標的対する要請

#### 統計と測定精度

$$\frac{\delta A^{\text{exp}}}{A^{\text{exp}}} = \frac{1}{\sqrt{2NP_B P_T f A^{phys}}}$$

- -大偏極標的
- -高偏極度(長緩和時間)
- -高ダイリューションファクター

#### COMPASS偏極標的

- 標的セル

- → 120cm長
- 磁場強度
- → 2.5T (大口径)

- 温度

→ 到達温度60mK、300mKで300mW

- 標的物質

NH<sub>3</sub>(f=17%, 4000h @60mK, 0.6T)
<sup>6</sup>LiD(f=50%)



マイクロ波による動的偏極法(Dynamic Nuclear Polarization)



陽子偏極度 ~90% 重陽子偏極度 50%以上

### COMPASS 偏極標的システム

(upgraded in 2006)

#### 希釈冷凍機

- · 50mK
- 300mKで350mWの冷却能力

#### 磁石

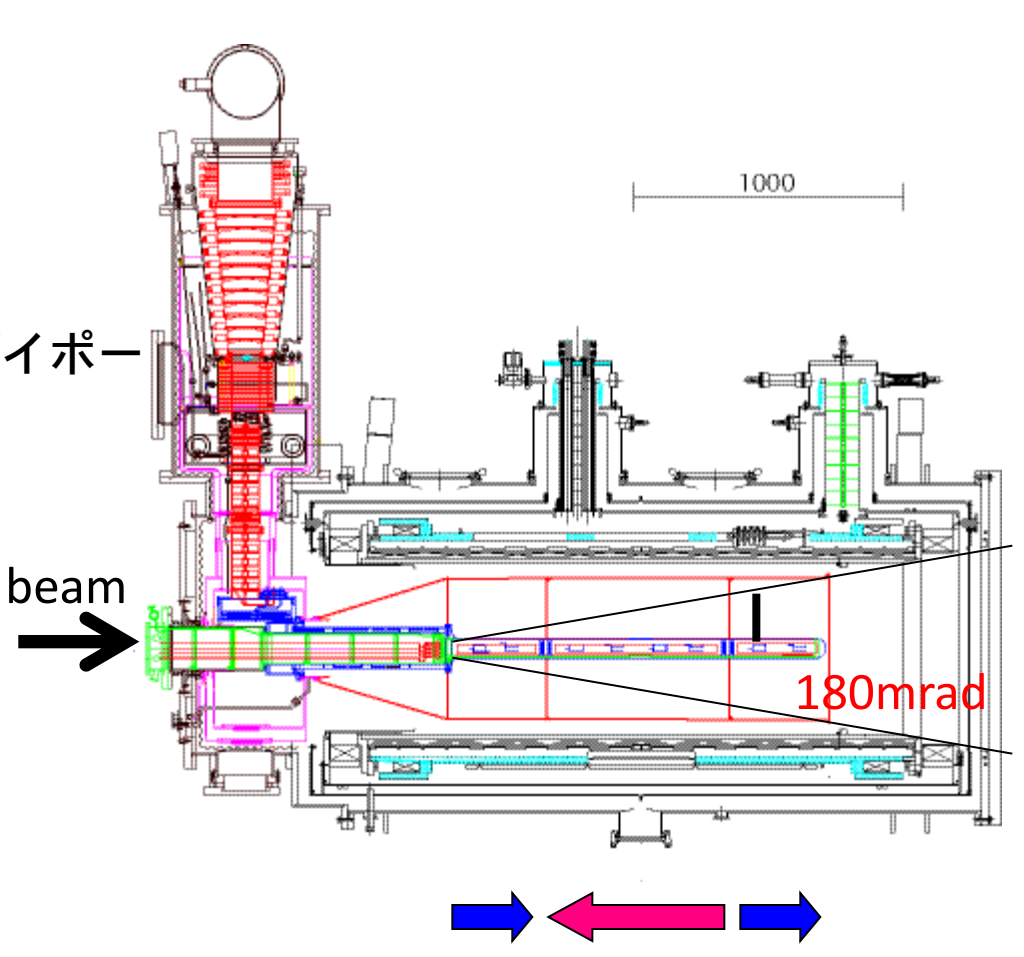
- · 高均一度2.5Tソレノイド, 0.6Tダイポー ル
- 180mrad アクセプタンス 標的セル
- · 3 セル (30, 60 30cm long)
- · 直径4cm

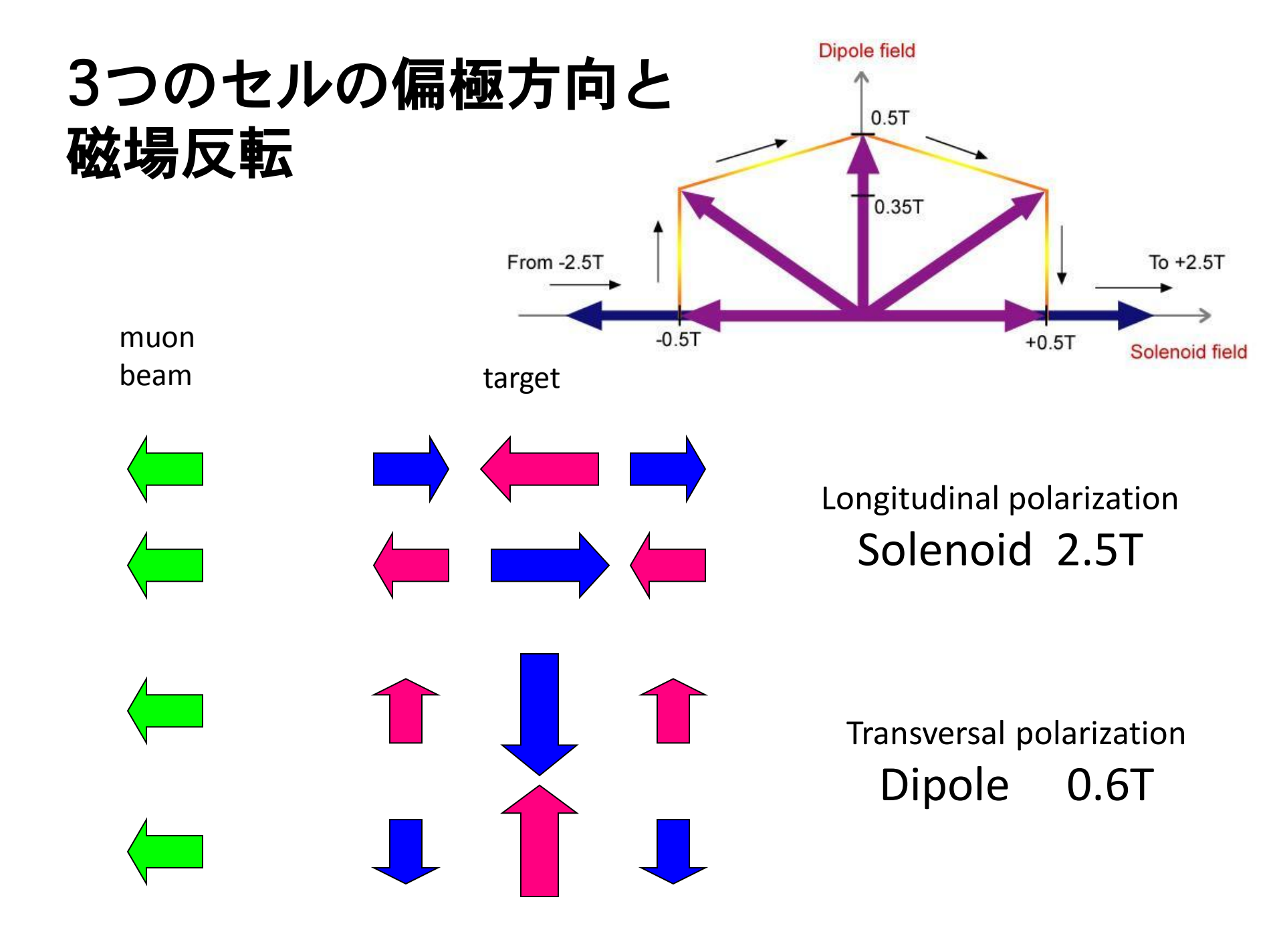
#### マイクロ波システム

· 2 EIO 発振器 (20W)

#### NMR システム

・ 10 チャンネル (3, 4, 3)

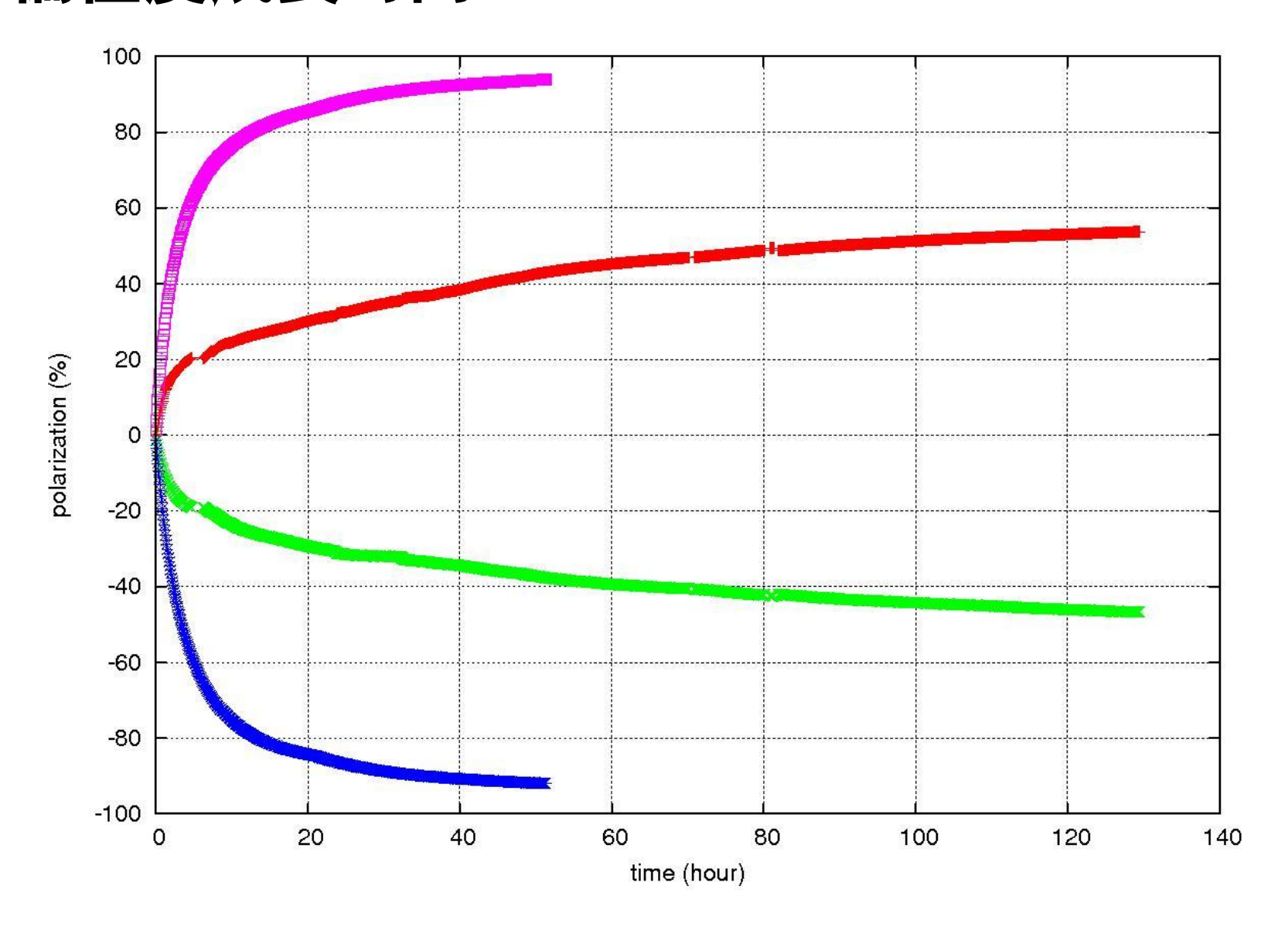








# 偏極度成長時間



# 偏極度緩和時間

#### Temperature ~60mK

	Material	Magnetic field	Relaxation time
COMPASS	<sup>6</sup> LiD	2.5 T	>15000 h
COMPASS	<sup>6</sup> LiD	1.0 T	~ 10000 h
COMPASS	NH <sub>3</sub>	1.0 T	~ 9000 h
COMPASS	NH <sub>3</sub>	0.6 T	~ 4000 h
SMC	NH <sub>3</sub>	0.5 T	500 h
COMPASS	<sup>6</sup> LiD	0.0 T	2.5 min. for positive
COMPASS	NH <sub>3</sub>	0.0 T	~ 70 min. for positive
			~ 10 min. for negative

### まとめ

- COMPASS実験では、核子スピン構造研究を 行っている。
- 偏極標的システムは、この実験で重要であり、 将来実験でも用いられる。
- GPD Eの測定を行うための、新たなコンセプト の偏極標的システムが必要。